

Study of Loading, Cytotoxicity, Uptake, and Release of Curcumin from a Novel Gemini Surfactant Nanocarrier

Maral Rahimzadeh¹, Majid Sadeghizadeh^{2*}, Farhood Najafi³, Seyed Shahriar Arab⁴, Hamid Mobasher⁵

- 1- Ph.D. Candidate, Department of Nanobiotechnology, Faculty of Biological Sciences, Tarbiat Modares University, Tehran, Iran
- 2- Professor, Department of Molecular Genetics, Faculty of Biological Sciences, Tarbiat Modares University, Tehran, Iran
- 3- Assistant Professor, Department of Resin and Additives, Institute for Color Science and Technology, Tehran, Iran
- 4- Assistant Professor, Department of Biophysics, Faculty of Biological Sciences, Tarbiat Modares University, Tehran, Iran
- 5- Associate Professor, Laboratory of Membrane Biophysics, Institute of Biochemistry and Biophysics, Tehran University, Tehran, Iran

*Corresponding Address: Postal Code: 1411713116, Department of Molecular Genetics, Faculty of Biological Sciences, Tarbiat Modares University, Tehran, Iran
Email: sadeghma@modares.ac.ir

Received: 14/Aug/2016, Accepted: 06/Nov/2016

Abstract

Objective: Numerous researches have been conducted to comprehend the anti-cancer effects of curcumin (Cu). Although the anti-proliferative properties of Cu on cancerous cells is known, the clinical application of this gold substrate is limited. This limitation is mostly due to low solubility, inefficient bioavailability, rapid metabolism, and improper uptake. In this study, we have synthesized a novel biodegradable gemini surfactant (Gs), after which the curcumin (Cu) molecules were encapsulated within the polymer to overcome its physicochemical limitations.

Methods: We prepared Gs-Cu nanoparticles by the nanoprecipitation method. Size and polydispersity index of the nanoparticles were determined by the dynamic light scattering (DLS) technique. The release profile of Cu from the polymer matrix was studied, and the MTT assay and cellular uptake of Gs-Cu on MDA-MB-231 cells were investigated in vitro.

Results: The Gs polymer had the capability to form polymersomes in an aqueous solution; a narrow size distribution was obtained ($PDI \approx 0.3$). The encapsulation efficiency approximated 87%. We observed a sustained release profile due to incorporation of Cu into the polymer matrix. The Gs-Cu complex showed more cytotoxicity compared to free Cu because of the higher rate of cellular internalization.

Conclusions: The data indicate that Gs polymersomes can be regarded as nanocarriers for hydrophobic curcumin molecules.

Keywords: Curcumin, Anti-cancer, Gemini surfactant, Nanocarrier, Polymersome

Pathobiology Research, Vol. 19 (2016-2017), No. 1, Pages: 13-27

مطالعه بارگزاری، سمت، جذب و رهایش کورکومین از نانو حامل جدید جمینی سورفکتانت

مارال رحیمزاده^۱، مجید صادقیزاده^{۲*}، فرهود نجفی^۳، سید شهریار عرب^۴، حمید مباشری^۵

- ۱- دانشجوی دکتری تخصصی، گروه نانو بیوتکنولوژی، دانشکده علوم زیستی، دانشگاه تربیت مدرس، تهران، ایران
- ۲- استاد، گروه ژنتیک، دانشکده علوم زیستی، دانشگاه تربیت مدرس، تهران، ایران
- ۳- استادیار، مؤسسه پژوهشی علوم و فناوری رنگ، گروه پژوهشی رزین و مواد افزودنی، تهران، ایران
- ۴- استادیار، گروه بیوفیزیک، دانشکده علوم زیستی، دانشگاه تربیت مدرس، تهران، ایران
- ۵- دانشیار، گروه بیوفیزیک، مرکز تحقیقات بیوشیمی و بیوفیزیک (IBB)، دانشگاه تهران، تهران، ایران

*آدرس نویسنده مسئول: ایران، تهران، کدپستی: ۱۴۱۱۷۱۳۱۶، دانشگاه تربیت مدرس، دانشکده علوم زیستی، گروه ژنتیک
Email: sadeghma@modares.ac.ir

پذیرش مقاله: ۹۵/۰۸/۱۶

دریافت مقاله: ۹۵/۰۵/۲۴

چکیده

هدف: در دهه‌های اخیر پژوهش‌های بسیاری در راستای بررسی خواص ضد سرطانی کورکومین انجام شده است اما با وجود تمام خواص کشنده‌گی کورکومین بر سلول‌های سرطانی استفاده بالینی از این ماده طلایی محدود باقی مانده است. علت این محدودیت را می‌توان در محلولیت پایین، زیست دسترس پذیری کم، متabolیسم سریع و عدم جذب جست و جو کرد. در این مطالعه، برای بهبود خواص فیزیک و شیمیایی کورکومین، یک جمینی سورفکتانت زیست تحریب پذیر جدید ساخته شد و مولکول‌های کورکومین داخل آن بارگزاری شد.

مواد و روش‌ها: نانو ذرات جمینی سورفکتانت-کورکومین با روش رسوب دهی نانو تهیه شد و اندازه و توزیع اندازه ذرات آن به کمک روش پراکندگی دینامیکی نوری تعیین شد. همچنین رهایش دارو از بستر پلیمر بررسی شد و در نهایت آزمون سمیت MTT و جذب سلولی به صورت برونشتی روی سلول‌های MDA-MB-231 صورت گرفت.

نتایج: پلیمر جمینی سورفکتانت قادر است در محیط آبی، پلیمر و زوم با توزیع اندازه ذره‌ای ($PDI \approx 0.2$) تشکیل دهد. بازده بارگاری حدود ۸۷ درصد محاسبه شد. در اثر پیوستن کورکومین به بستر پلیمر رهایش کترل شده مشاهده شد. همچنین به علت جذب سلولی زیاد، کمپلکس جمینی سورفکتانت-کورکومین سمیت سلولی بیشتری را نشان داد.

نتیجه گیری: این نتایج نشان داد که پلیمر و زوم های جمینی سورفکتانت می‌تواند به عنوان نانو حامل برای مولکول‌های آب گریز کورکومین در نظر گرفته شود.

کلیدواژگان: کورکومین، ضد سرطان، جمینی سورفکتانت، نانو حامل، پلیمر و زوم

پژوهش‌های آسیب شناسی زیستی، دوره ۱۹، شماره ۱، بهار ۱۳۹۵، صفحات: ۲۷-۱۳

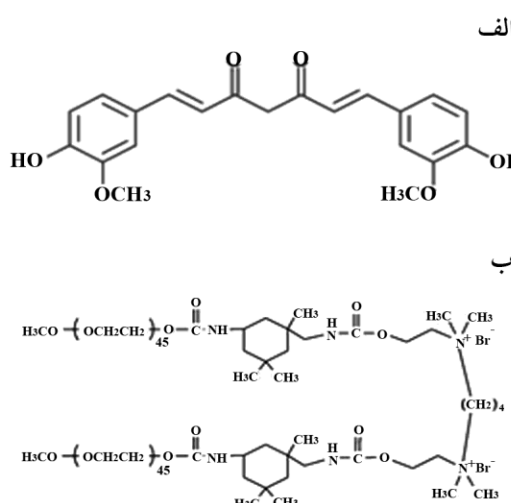
مقدمه

به تغییر سریع سلول‌هایی که از حدود طبیعی خود بیشتر رشد و تقسیم می‌شوند، و سپس در سراسر بدن پخش شده و

مطالعه اثر بخشی نانو حامل جمینی سورفکتانت حاوی کورکومین

سبب القا خاصیت پنهان کنندگی (Stealth) می‌شود که از برهم کنش با اپسونین (Opsonin) خون جلوگیری می‌کند [۱۲-۱۴]. نانوذرات Gs قادر است مولکول‌های کورکومین را در آب حل کند و آن‌ها را در برابر تجزیه محافظت کند.

سورفکتانت Gs به عنوان یک ناقل جدید ساخته شد و توانایی آن برای حمل مولکول‌های کورکومین به عنوان یک ماده آب گریز بررسی شد. در واقع هدف از این پژوهش، بهبود خواص فیزیکو شیمیایی کورکومین برای گسترش استفاده از این داروی گیاهی در درمان سرطان سینه است.



شکل ۱ ساختار مولکولی (الف) کورکومین و (ب) یورتانی پگیله

مواد و روش‌ها

مواد

سلول‌های سرطان سینه انسانی (MDA-MB-231) که از قدرت متاستازی و تهاجمی خوبی برخوردارند برای این مطالعه اختیار شدند. این سلول‌ها که در محیط کشت RPMI 1640 رشد داده شده بودند، از مؤسسه پاستور خریداری شدند. محیط رشد توسط ۱۰ درصد (حجمی/حجمی) Fetal Bovine Serum (FBS)، ۱ درصد ال-گلوتامین و ۱ درصد پنی سیلین/استرپتومایسین کامل شد.

روش‌های مقابله با سرطان در دهه‌های اخیر مورد توجه بسیاری از محققان بوده است.

با وجود محدودیت‌هایی که داروهای شیمیایی دارند از جمله، به گزینی (Selectivity) کم، نیاز به دوز دارویی بالا، مقاومت دارویی و آثار جانبی ناخواسته، همواره شیمی درمانی یکی از روش‌های اصلی درمان سرطان بوده است [۲، ۳]. در نتیجه استفاده از داروهای با منشأ گیاهی که در مقایسه با داروهای شیمیایی یا صناعی غیر سمی و ارزان هستند، بیش از پیش مورد توجه قرار گرفته است [۴]. کورکومین (Curcumin) مسئول رنگ زرد و جز فعال ادویه زردچوبه است [۵]. برخلاف خواص دارویی بسیاری که کورکومین دارد استفاده از این ماده به علت محلولیت آبی کم، جذب سلولی پایین، در دسترس پذیری زیستی (Bioavailability) کم، متابولیسم شدید در pH خشی و حذف سریع همواره با محدودیت مواجه بوده است [۶-۹].

بسیاری از محققان برای غلبه بر این محدودیت‌های کورکومین به استفاده از سیستم‌های نانویی انتقال دارو روی آورده‌اند [۱۰]. نانو حامل‌های بر پایه لیپید و نیز نانو حامل‌های بر پایه پلیمر جز محبوب‌ترین ناقل‌ها برای داروهای ضد سرطانی در پژوهش‌های بالینی هستند [۷، ۱۱].

در این مطالعه، یک جمینی سورفکتانت یورتانی پگیله شده به عنوان ناقل کورکومین بررسی شد. جمینی سورفکتانت یورتانی پگیله شده (mPEG urethane gemini surfactant) به عنوان ناقل کورکومین بررسی شد. جمینی سورفکتانت یورتانی پگیله شده (Gs) یک کوپلیمر Gemini surfactant: Gs (Amphiphilic Biodegradable) است که از پلی‌اتیلن گلیکول ۲۰۰۰، یورتان، آمین نوع سوم و اتصال دهنده هیدروکربنی ساخته شده است. ساختار مولکولی (Gs) و کورکومین (Cu) در شکل ۱ نمایش داده شده است.

نانوذرات Gs قادر به خودآرایی و تشکیل پلیمروزوم در محیط آبی است و این در حالی است که مولکول‌های پلی‌اتیلن گلیکول (PEG) ساختارهای پُر زمانندی (Brush) را در سطح به وجود می‌آورد [۱۲]. وجود مولکول‌های PEG در سطح،

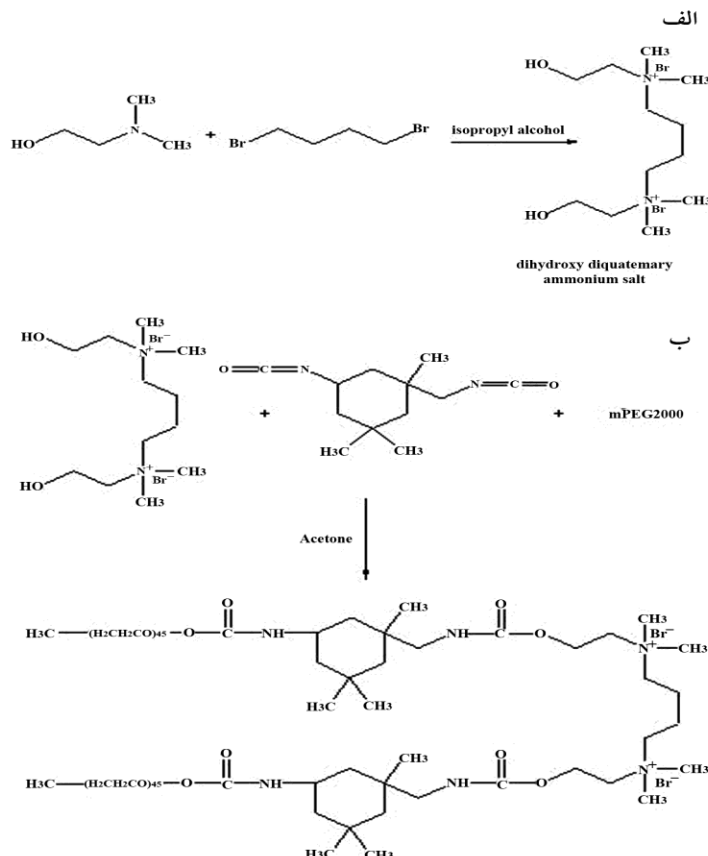
سانتی گراد حرارت داده شد. نمک دی هیدروکسی دی کواترنری Ammonium (DHDQA) در دی اتیل اتر رسوب داده شد، فیلتر شد و در آون تحت شرایط خلاً در دمای ۴۰ درجه سانتی گراد به مدت ۴ ساعت خشک شد. به طور متوسط بازده محصول ۹۶ درصد در اکثر سترها بدست آمد.

DHDQA در مرحله بعد، واکنش یورتانی در استون حاوی (۰/۰۱ مول / لیتر)، پلی اتیلن گلیکول متیل اتر ۲۰۰۰ و ایزو فورون دی ایزو سیانات (۰/۰۲ مول / لیتر) در دمای ۵۵ درجه سانتی گراد به مدت ۴ ساعت انجام شد. Gs یورتانی پگیله شده با رسوب دهی در دی اتیل اتر خالص شد و سپس در آون تحت خلاً در دمای ۴۰ درجه سانتی گراد به مدت ۴ ساعت خشک شد و متوسط بازده محصول ۹۲ درصد ~ به دست آمد (شکل ۲).

FBS درصد ال - گلوتامین و پنی سیلین / استرپتومایسین از شرکت Thermo Fisher Scientific (آمریکا) خریداری شد. EMD Millipore Pyrene (Pyrene) از شرکت Sigma Aldrich (آمریکا) و پلی اتیلن گلیکول متیل اتر با وزن مولکولی ۲۰۰۰ از شرکت Merck (آمریکا) تهیه شد. ۴ و ۱ دی بروموبوتان، ۲ - دی متیل آمینو اتانول، ایزو فورون دی ایزو سیانات، ایزو پروپیل الکل، متانول و استون از شرکت Merck (آمریکا) خریداری شد.

روش ستز Gs

۱/۷۸ گرم از دی متیل آمینو اتانول (۰/۰۲ مول) و ۲/۱۵ گرم از او ۴ - دی بروموبوتان (۰/۰۱ مول) در ۳۰ میلی لیتر از ایزو پروپیل الکل مخلوط شد و به مدت ۲ ساعت در دمای ۸۰ درجه



شکل ۲ (الف) ستز DHDQA (ب) تولید جمینی سورفکتانت یورتانی پگیله (Gs) از طریق واکنش یورتانی

مطالعه اثر بخشی نانو حامل جمینی سورفکتانت حاوی کورکومین

محلول حاصل با شدت ۸۰ درصد و به مدت ۱ دقیقه سونیکیت شد (Ultrasonic UP200H, GmbH, آلمان) تا محلول کاملاً یکنواخت شود. در مرحله بعد، محلول از فیلتر سرنگی ۰/۲۲ میکرونی عبور داده شد تا آلودگی های احتمالی باکتریایی و کورکومین اضافی از محلول جدا شود. داخل تبخیر کننده چرخان (Rotary evaporator)، متابول از محلول جدا شد و پلیمروزوم های حاصل به صورت انجامدادی خشک شد (Freeze-dry) و برای آزمایش های بعدی در دمای ۴ درجه سانتی گراد نگهداری شد.

بازده بارگزاری و میزان بارگیری

پودر لیوفیلیزه (Lyophilized) پلیمروزوم های Gs-Cu در متابول (به نسبت ۱:۱، وزنی/حجمی) حل شد و به شدت به مدت ۵ دقیقه تکان داده شد. سپس محلول به مدت ۵ دقیقه با شدت ۸۰ درصد سونیکیت شد و به مدت ۲۰ دقیقه در دور $\times 18000$ سانتریفوج (Dragon Laboratory D3024R) شد. در نتیجه کورکومینی که داخل پلیمر محصور شده بود رها شده و Gs رسوب کرد. شدت جذب نوری کورکومین در طول موج ۴۲۵ نانومتر توسط دستگاه NanoDrop ۱۰۰۰ (Thermo Fisher Scientific) آمریکا) خوانده شد و از روی منحنی استاندارد کورکومین مقدار آن محاسبه شد. بازده بارگزاری (Encapsulation Efficiency: EF) و میزان بارگیری (Drug Loading: DL) به ترتیب بر اساس معادله (۱) و (۲) بدست آمد.

$$\text{درصد بازده بارگزاری} = \frac{\text{مقدار کورکومین بارگزاری شده}}{\text{مقدار کورکومین اولیه}} \times 100$$
$$\text{درصد بازده بارگیری} = \frac{\text{مقدار کورکومین بارگزاری شده}}{\text{مقدار جمینی سورفکتانت} + \text{مقدار کورکومین بارگزاری شده}} \times 100$$

پراکندگی نور دینامیکی (Dynamic Light Scattering: DLS) استفاده شد. نانو ذرات Gs-Cu و Gs خالی با غلظت ۱

بررسی ساختار شیمیایی

ساختار شیمیایی Gs توسط H-NMR (دستگاه Bruker ۵۰۰ MHz, آمریکا) در کلروفروم (CDCl₃) تأیید شد.

تعیین غلظت بحرانی تشکیل میسل

غلظت بحرانی تشکیل میسل (Critical Micelle Concentration: CMC) برای پلیمر Gs بر اساس شدت طیف بر انگیختگی پایرین (پروب آب گریز) به دست آمد [۱۵-۱۷]. محلول پایرین در استون با غلظت 6×10^{-6} مولار تهیه شد و در ۱۰ لوله آزمایش تقسیم شد تا استون آن تبخیر شود. سپس غلظت های مختلف از Gs حل شده در بافر فسفات (Phosphate Buffer Saline: PBS) به هر لوله اضافه شد و به شدت مخلوط شدند و یک شب در دمای ۳۷ درجه سانتی گراد تکان (Shake) داده شد. غلظت نهایی پایرین در هر لوله به 6×10^{-7} مولار رسید. با استفاده از دستگاه فلوریمتر PerkinElmer نمونه ها در طول موج ۳۰۰-۳۵۰ نانومتر برانگیخته شد و طول موج بازتاب در ۳۹۰ نانومتر ثبت شد [۱۸].

تهیه نانو ذرات Gs-Cu

پلیمروزوم های Gs-Cu از روش رسوب دهی نانو (Nano precipitation) تهیه شد [۱۹]. مقدار مختلف از کورکومین و ۱۰۰ میلی گرم از Gs همزمان در ۳ میلی لیتر متابول حل شد و سپس ۳ میلی لیتر آب مقطر به آرامی به محلول اضافه شد.

اندازه، پتانسیل زتا و پراکنش اندازه

برای تعیین اندازه و پتانسیل زتا نانوذرات Gs-Cu از روش

محیط کشت جدید حاوی محلول MTT (۵ میلی گرم/میلی لیتر) جایگزین شد. سپس سلول‌ها به مدت ۴ ساعت انکوبه و محیط کشت خارج شد؛ سپس ۱۵۰ میکرولیتر DMSO (Dimethyl sulfoxide) به هر چاهک اضافه شد. میزان جذب فورمازان در Enzymed-Linked ۴۹۰ نانومتر با استفاده از دستگاه الایزا (Immunosorbent Assay: ELISA

تجزیه و تحلیل جذب سلولی (Cellular uptake)

سلول‌های MDA-MB-231 در محیط کشت کامل با تراکم 1×10^7 در پلیت ۶ خانه سید (Seed) و به مدت ۲۴ ساعت انکوبه شدند. سپس سلول‌ها با ۵۰ میکرولیتر از Gs-Cu پلیمروزوم‌های Gs، کورکومین آزاد و نانوذرات Gs-Cu (Eppendorf) حل شد؛ سپس در اپندورف‌ها (Eppendorf) وزنی/حجمی) حل شد؛ سپس در اپندورف‌ها (Eppendorf) تقسیم شدند (در هر کدام ۵۰۰ میکرولیتر) و آزمایش به صورت سه بار تکرار انجام شد. اپندورف‌ها در بن‌ماری لرزان در دمای ۳۷ درجه سانتی‌گراد و سرعت ۱۰۰ دور در دقیقه قرار داده شد. از آن جایی که کورکومین کاملاً در آب نامحلول است، در زمان‌های مشخص شده یک ست (set) از اپندورف‌ها برداشته شد و در دور $g \times 10000$ به مدت ۱۰ دقیقه رسوب داده شد تا داروی رها شده از کمپلکس جدا شود. رسوب کورکومین در ۵۰۰ میکرولیتر متابولول حل شد و میزان جذب کورکومین رها شده در ۴۲۵ نانومتر توسط دستگاه نانودرایپ اندازه‌گیری شد.

تحلیل آماری

آزمایش‌ها به صورت ۳ بار تکرار انجام و داده‌ها به صورت میانگین \pm انحراف از معیار گزارش شد. نمودارها توسط نرم‌افزار Biosciences FACSCanto™ II (آمریکا) اندازه‌گیری شد. تجزیه و تحلیل نتایج توسط نرم‌افزار Flowing Software 2 انجام شد.

نتایج

ساختر شیمیایی Gs

ساختر Gs سنتز شده توسط طیف NMR پروتون ($H-NMR$) تأیید شد. همان‌طور که در شکل ۳ مشاهده

میلی گرم / میلی لیتر در دو $pH=7/4$ و $pH=5$ تهیه شد. اندازه، پتانسیل زتا و پراکنش اندازه (Poly Dispersity Index) Malvern Instruments Zetasizer Nano ZS (انگلیس) با استفاده از پرتو لیزر آرگون در ۶۳۳ نانومتر و زاویه پراکنش ۹۰ مشخص شد.

مطالعه رهایش در بروون تنی

میزان رهایش کورکومین از نانوذرات Gs-Cu با استفاده از روش انتشار مستقیم (Direct dispersion) مطالعه شد [۲۰، ۲۱]. آزمایش به مدت ۷۲ ساعت و در دو $pH=7/4$ و $pH=5$ انجام شد. پودر لیوفیلیزه Gs-Cu در بافر فسفات (۱۵:۱۰۰، Eppendorf) حل شد؛ سپس در اپندورف‌ها (Eppendorf) تقسیم شدند (در هر کدام ۵۰۰ میکرولیتر) و آزمایش به صورت سه بار تکرار انجام شد. اپندورف‌ها در بن‌ماری لرزان در دمای ۳۷ درجه سانتی‌گراد و سرعت ۱۰۰ دور در دقیقه قرار داده شد. از آن جایی که کورکومین کاملاً در آب نامحلول است، در زمان‌های مشخص شده یک ست (set) از اپندورف‌ها برداشته شد و در دور $g \times 10000$ به مدت ۱۰ دقیقه رسوب داده شد تا داروی رها شده از کمپلکس جدا شود. رسوب کورکومین در ۵۰۰ میکرولیتر متابولول حل شد و میزان جذب کورکومین رها شده در ۴۲۵ نانومتر توسط دستگاه نانودرایپ اندازه‌گیری شد.

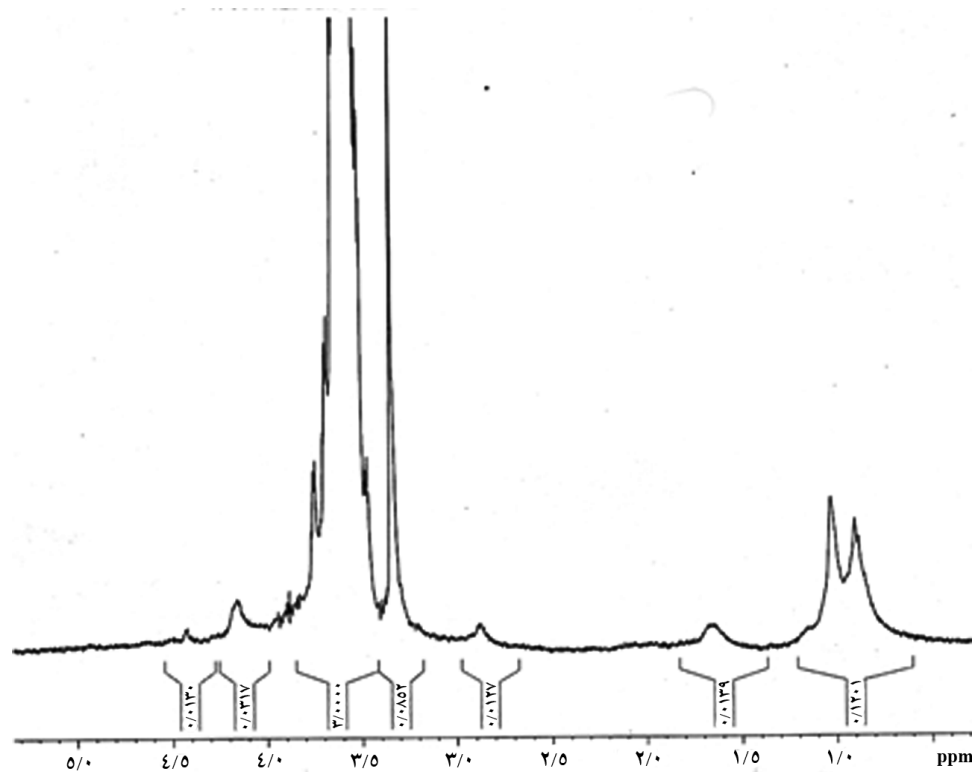
بررسی سمیت سلولی

اثر سمیت کورکومین آزاد، Gs و نانوذرات Gs-Cu بر سلول‌های MDA-MB-231 توسط آزمون MTT ارزیابی شد. سلول‌ها با تراکم 1×10^4 در پلیت ۹۶ خانه در انکوباتور ۳۷ درجه سانتی‌گراد و دی اکسید کربن ۵ درصد کشت داده شد. بعد از ۲۴ ساعت، سلول‌ها با مقادیر متفاوتی از کورکومین، Gs و Gs-Cu در PBS (۱۰۰ میکرومولار، $pH=7/4$) تیمار شدند. کورکومین آزاد با کمک متابولول در PBS (کمتر از ۰/۴ درصد حجمی/حجمی) حل شد [۱۸]. در زمان‌های مشخص (بعد از ۲۴ ساعت و ۴۸ ساعت) محیط کشت برداشته شده و با

مطالعه اثر بخشی نانو حامل جمینی سورفکتانت حاوی کورکومین

قسمت انتهایی اتصال دهنده باعث جابه جایی این نقطه اوج به $\delta=2/8$ ppm شده است. پروتون های متیلن که به اتم های اکسیژن متصل است و در واقع اتصال نمک آمونیوم به ایزو فورون دی ایزوسیانات را تأیید می کند در ناحیه $\delta=4/2$ ppm نمایان شده است. نقاط اوج ناحیه $\delta=0/9$ ppm و $\delta=1/1$ ppm به ترتیب به پروتون های متیل و متیلن ایزو فورون دی ایزوسیانات مربوط هستند.

می کنید، نقطه اوج (Peak) روزنامه پهن در $\delta=3/5-3/8$ ppm به پروتون های متیلن گروه پلی اتیلن گلیکول و همچنین پروتون های گروه متیل انتهایی مربوط می شود. نقطه اوج شدید در ناحیه $\delta=2/3$ ppm پروتون های CH_3 در DHDQA را نشان می دهد. پروتون های متیلن در قسمت اتصال دهنده (Linker) مولکول از طریق $\delta=1/64$ ppm به اتم های نیتروژن در دو است، در حالی که اتصال گروه CH_2 به اتم های نیتروژن در دو



شکل ۳ تأیید ساختار سنتز شده Gs با استفاده از H-NMR

پایرن در نتیجه افزایش غلظت پلیمر Gs بررسی شد و طیف فلورسانس پایرن خالص به عنوان کنترل در محیط قطبی ارزیابی شد.

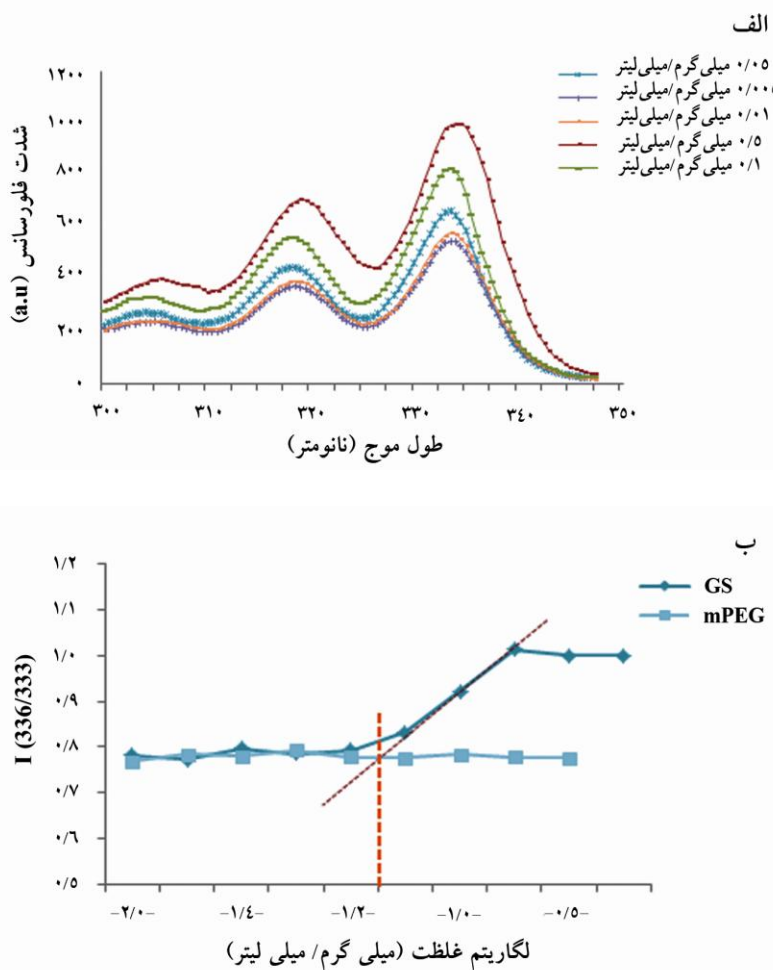
انتقال پایرن از محیط آبی به داخل پلیمر و زومهای کمتر قطبی Gs، سبب جابه جایی طیف برانگیختگی از ۳۳۳ نانومتر به ۳۳۶ نانومتر شد. در غلظت های پایین تر پلیمر، شدت نقطه

تعیین CMC

برای تعیین CMC پلیمر از طیف برانگیختگی فلورسانس پایرن استفاده شد. از آن جایی که پایرن در محیط قطبی خاصیت خود خاموش کنندگی (Self-quenching) دارد، نقطه اوج شدید فلورسانس زمانی دیده می شود که پایرن در محیط غیر قطبی قرار گیرد. در این مطالعه، شدت فلورسانس

به صورت نمایی افزایش پیدا کرد. از محل تقاطع دو نمودار شکل ۴ مقدار CMC پلیمر $15/0/9$ میکرولیتر محاسبه شد.

اوج ۳۳۶ به ۳۳۳ ($I_{336/333}$) تقریباً ثابت باقی ماند، در حالی که با افزایش غلظت به مقدار بالاتر از CMC شدت نقطه اوج



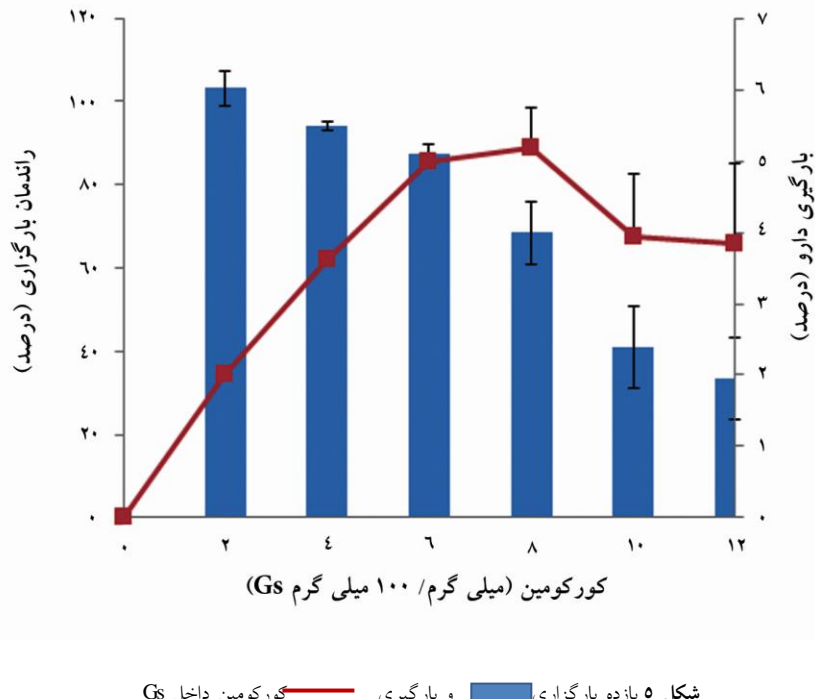
شکل ۴ (الف) تغییرات شدت فلورسانس پایین در ۵ غلظت انتخابی از Gs به منظور سهولت مشاهده تغییر طول موج برانگیختگی مولکول پایرن قبل و بعد از شکل گیری پلیمروزوم‌ها (ب) نمودار شدت فلورسانس ($I_{336/333}$) پایین به عنوان تابعی از لگاریتم غلظت Gs و mPEG

به نمونه با نسبت $100:8$ (کورکومین: پلیمر وزنی/وزنی) متعلق بود؛ اما در نمونه با نسبت $100:6$ (کورکومین: پلیمر وزنی/وزنی) حداقل بازده بارگزاری به دست آمد. در نتیجه نمونه $100:6$ با بازده بارگزاری $87/45 \pm 2/3$ درصد و میزان بارگزاری $98 \pm 0/12$ درصد برای آزمایش‌های بعدی انتخاب شد.

بازده بارگزاری و میزان بارگزاری

کورکومین با موفقیت داخل نانوذرات Gs بارگزاری شد. برای به دست آوردن مقدار بهینه برای بازده بارگزاری و میزان بارگزاری غلظت‌های مختلف کورکومین در 100 میلی‌گرم پلیمر محصور شد و نتایج آن در شکل ۵ نشان داده شده است. حداقل میزان بارگزاری

مطالعه اثر بخشی نانو حامل جمینی سورفکتانت حاوی کورکومین



شکل ۵ بازده بارگزاری و بارگزاری Gs

(Rapid swelling) رخ داده است.

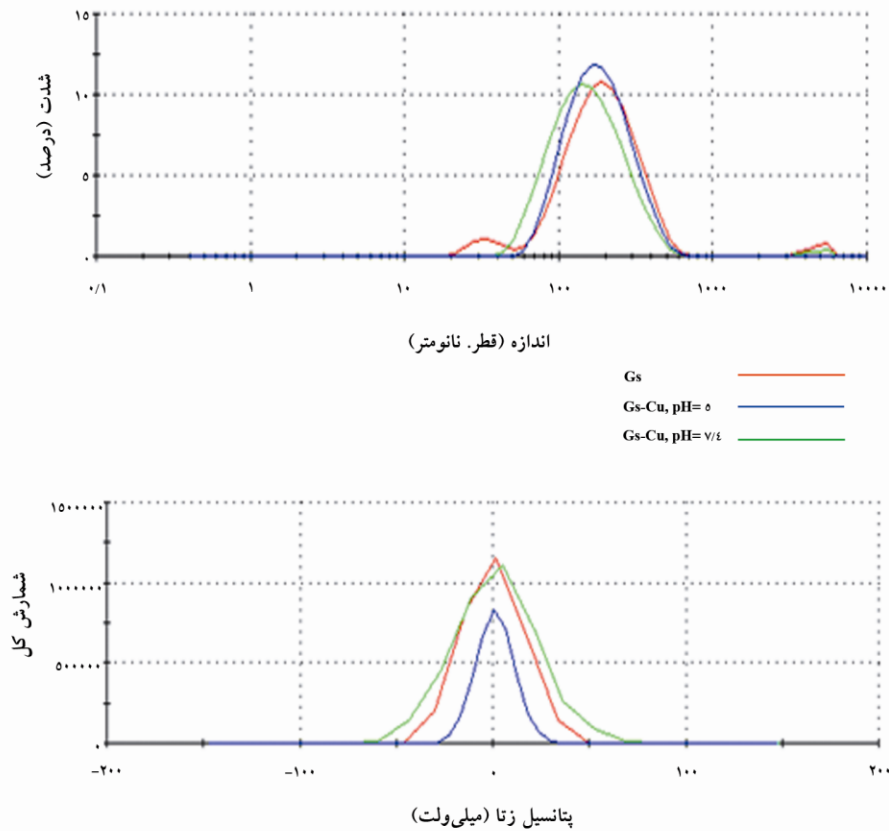
مطالعه رهایش در بروون تنی

نمودار (Profile) رهایش کورکومین از روش انتشار مستقیم در دو pH=۷/۴ و ۵ مورد تجزیه و تحلیل شد. در طول زمان مطالعه (۷۲ ساعت)، مقدار کورکومین رهایش یافته فقط ۲۴ درصد در pH=۵ و ۱۵ درصد در pH=۷/۴ بود. همان‌طور که شکل ۷ نشان داده شده است، در ۴ ساعت اول مطالعه رهایش انفجاری (Burst) به علت جدا شدن کورکومین‌های متصل به سطح رخ داد [۲۰، ۲۳]. بعد از رهایش سریع اولیه، رهایش کترل شده در نتیجه پیوستن کورکومین به ماتریکس پلیمر مشاهده شد. همچنین در محیط اسیدی، به علت وجود باندهای یورتانی و پروتونه شدن آن‌ها در pH پایین کل ساختار متورم شد و در نتیجه کورکومین محصور شده، سریع‌تر رهایش می‌یابد.

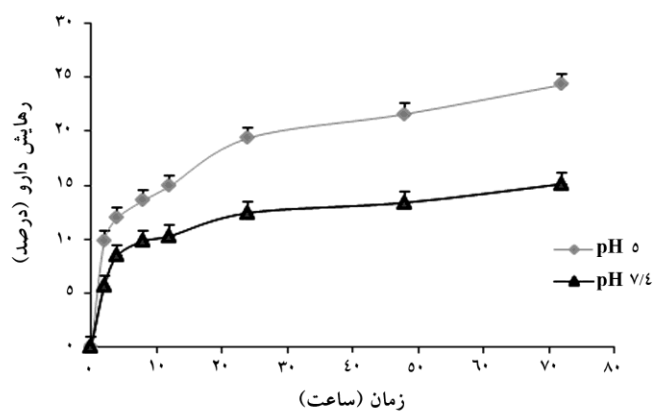
اندازه، پتانسیل زتا و پراکنش اندازه

پودر لیوفیلیزه نانوذرات Gs-Cu در بافر فسفات در دو pH=۷/۴ و ۵ و نیز پلیمروزوم‌های Gs در بافر فسفات با pH=۵ حل شد و اندازه و پتانسیل زتا آنان با روش پراکندگی دینامیکی نوری بررسی شد. نتایج در شکل ۶ نمایان شده است.

نانو حامل‌های Gs توزیع اندازه ذرهای مناسبی ($PDI = 0.2$) با میانگین قطر هیدرودینامیکی 181.0 ± 21.5 نانومتر داشت. قابل توجه است که با بارگزاری کورکومین داخل پلیمر حدود ۴۰ نانومتر کاهش در اندازه نانو ذره مشاهده شد. از بررسی این داده‌ها می‌توان به این نتیجه رسید که حضور کورکومین سبب ایجاد ساختارهای فشرده‌تر و محکم‌تر (Tighter) می‌شود. نکته جالب توجه دیگری که باید به آن اشاره کرد، افزایش اندازه نانوذرة Gs-Cu در pH=۵ است که در نتیجه تورم سریع

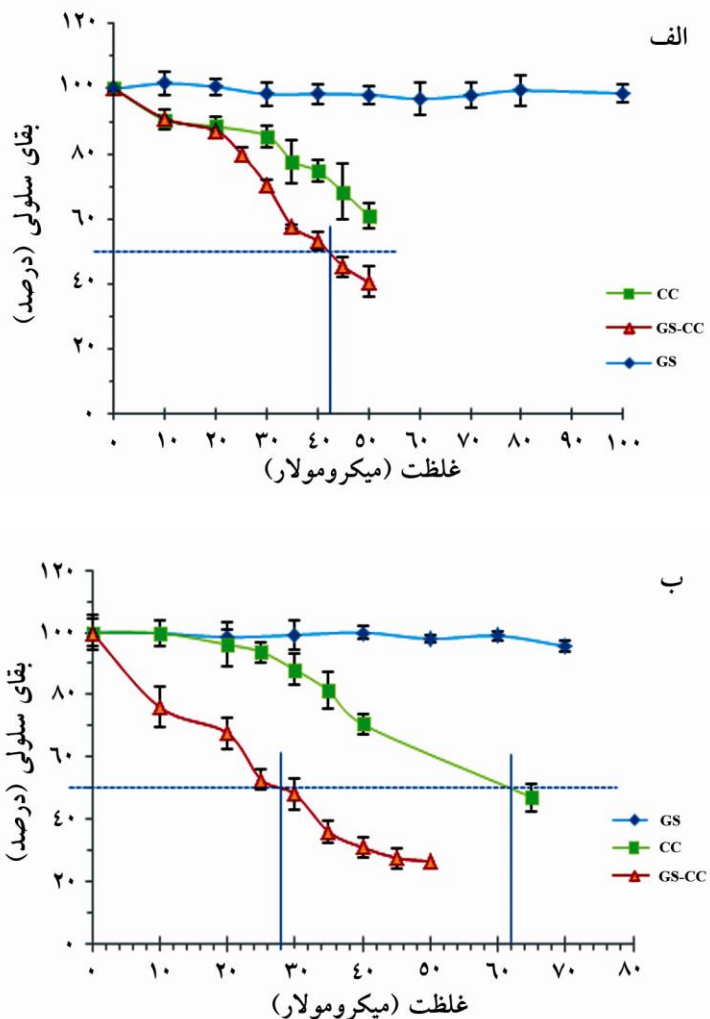


شکل ۶ توزیع اندازه ذرات و زتا پتانسیل پلیمروزوم‌های Gs و نانو ذرات Gs-Cu در دو pH مختلف توسط روش DLS



شکل ۷ نمودار رهایش دارو از نانوذرات Gs-Cu در دو pH مختلف (به صورت برونتن)

مطالعه اثر بخشی نانو حامل جمینی سورفکتانت حاوی کورکومین



شکل ۸ سمیت Gs خالی، کورکومین آزاد و پلیمروزوم های Gs-Cu بر سلول های MDA-MB-231 به صورت برونتن (الف) بعد از ۲۴ ساعت (ب) بعد از ۴۸ ساعت

توسط روشن نقطه (maximal inhibitory concentration) - نقطه (point-to-point) توسط نرم افزار اکسل محاسبه شد. برای کورکومین آزاد و کورکومین محصور شده به ترتیب IC_{50} ۶۲ و ۲۸ میکرومولار محاسبه شد. میزان IC_{50} برای پلیمروزوم های Gs-Cu بعد از ۲۴ ساعت تیمار ۴۲ میکرومولار به دست آمد که تأیید کننده تأثیر افزایش زمان تیمار، در کاهش مقدار IC_{50} است. همچنین میزان کورکومین مورد نیاز برای کشتن ۵ درصد از سلول ها زمانی که داخل نانو حامل به دام می افتاد، به دلیل افزایش در دسترس پذیری زیستی و جذب

بررسی سمیت سلولی

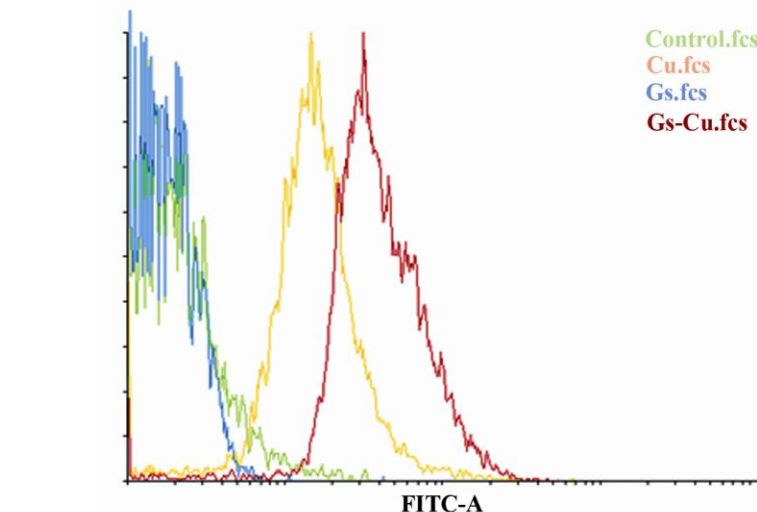
آزمون MTT برای ارزیابی میزان سمیت سیستم انتقال و تأثیر آن بر میزان مرگ و میر سلولی انجام شد. میزان زنده بودن سلول های MDA-MB-231 بر محور y ها و غلظت های مختلف Gs و Gs-Cu روی محور x ها در شکل ۸ نمایش داده شده است. نانو حامل Gs حتی بعد از تیمار ۴۸ ساعته هم تأثیر زیادی بر میزان مرگ و میر سلولی نداشت و میزان زنده بودن سلول در غلظت ۷۰ میکرومولار $95 \pm 1/79$ درصد گزارش شد. در تیمار ۴۸ ساعته سلول ها، IC_{50} (Half IC₅₀)

گرفتند. نتایج نشان داد که محصور کردن کورکومین داخل پلیمر Gs باعث افزایش جذب سلولی آن می‌شود. مقدار میانه جذب سلولی برای کورکومین آزاد و کورکومین محصور شده داخل Gs به ترتیب برابر با $15/12$ و $37/52$ بود. در نتیجه به دام انداختن کورکومین داخل نانوحاصل می‌تواند ورود آن را به سلول تا میزان $2/4$ برابر در غلظت 50 میکرومولار افزایش دهد (شکل ۹).

سلولی کاهش می‌یابد.

تجزیه و تحلیل جذب سلولی

ورود کورکومین به داخل سلول، به دلیل خاصیت فلورسانس ذاتی آن، به صورت کمی توسط روش فلورسانیومتری بررسی شد. سلول‌های MDA-MB-231 به طور جداگانه در مععرض نانوحاصل Gs، Cu آزاد و نانوذرات Gs-Cu قرار



شکل ۹ بررسی کمی مقدار جذب درون سلولی توسط کورکومین آزاد و کمپلکس Gs-Cu.

ساخته و با دستگاه NMR ساختار آن تأیید شد. CMC $15/0/9$ میکرومولار ($0/12$ میلی گرم/میلی لیتر) محاسبه شد که این مقدار از CMC سورفکتانت‌های با وزن مولکولی کم (به عنوان مثال $2/3$ میلی گرم/میلی لیتر برای سدیم دو دسیل سولفات) پایین‌تر است. کوچک‌تر بودن CMC گواه آن است که پلیمر Gs از لحاظ ترمودینامیکی پایدارتر بوده و از زمان گردش خون بیشتری نیز برخوردار است [۱۶، ۱۸].

کورکومین به عنوان یک داروی آب‌گریز داخل این پلیمر بارگزاری شد و بازده بالای حدود 87 درصد به دست آمد. این روش ساده بارگزاری محسن زیادی از جمله، توزیع اندازه

بحث

پلیمروزوم‌ها یکی از ساختارهای ابر مولکولی است که ویژگی‌های جالبی دارد. پلیمروزوم‌ها این قابلیت را دارد که هم داروهای آب‌دوست و هم آب‌گریز را حمل کند؛ مولکول‌های آب‌گریز را در غشای خود محصور می‌کند. همچنین پلیمروزوم‌ها در مقایسه با میسل‌ها از پایداری بیشتری برخوردارند. وجود مولکول‌های پلی‌اتیلن گلیکول در سطح پلیمروزوم سبب افزایش سازگاری زیستی و نیز افزایش زمان گردش در خون می‌شود.

در این پژوهش، جمینی سورفکتانت یورتانی پگیله (Gs)

مطالعه اثر بخشی نانو حامل جمینی سورفکتانت حاوی کورکومین

کشندگی و سمّی حتی در غلظت‌های بسیار بالا ندارد و همچنین IC₅₀ در کمپلکس Gs-Cu کمتر از کورکومین آزاد بود که اغلب به دلیل تفاوت در جذب سلولی کورکومین است. روش‌های مختلف ورود دارو به سلول نقش مهمی در خاصیت کشندگی آن دارد. کورکومین آزاد به صورت انتشار از غشای سلولی عبور کرده و داخل آن می‌شود پس زمانی که داخل سیتوپلاسم از کورکومین اشباع شود از ورود مجدد آن به داخل سلول جلوگیری به عمل می‌آید که در نتیجهٔ این عمل، تمام خواص کورکومین در مدت زمان کوتاهی از حضورش در سیتوپلاسم مشاهده می‌شود. این در حالی است که نانوذرات Gs-Cu به صورت انلوسیتوز وارد سلول می‌شود که این امکان را فراهم می‌آورد تا سلول همواره ذخیره مناسبی از کورکومین داشته باشد و به صورت تدریجی آزاد می‌شود [۲۹]. به علاوه؛ مطالعات گذشته نشان داده است که پایداری و حفظ دارو درون سلول به طور مستقیم با خاصیت کشندگی آن ارتباط مستقیم دارد [۲۳].

در نتیجهٔ پلیمروزوم‌های Gs کاندیدهای مناسبی برای انتقال داروهای آب‌گریز با پتانسیل انتقال داروهای آب‌دوست است. همچنین انجام مطالعات درون تنی (In vivo) برای پلیمروزوم‌های Gs-Cu ضروری به نظر می‌رسد.

تشکر و قدردانی

کلیه امکانات و حمایت‌های مالی این پژوهه توسط معاونت محترم پژوهشی دانشگاه تربیت مدرس تأمین شده است و بدین وسیله قدردانی ویژه از ایشان به عمل می‌آید.

ذره‌ای کم، افزایش زیست دسترسی‌پذیری، محلولیت بالا، پایداری مناسب را به همراه دارد.

یکی از پلیمرهایی که توجه بسیاری از محققین را برای استفاده به عنوان نانو حامل به خود جلب کرده است، پلی‌لکتیک-کو-گلیکول (Poly lactic co glycol: PLGA) است. این پلیمر از زیست سازگاری و زیست تخریب‌پذیری خوبی برخوردار است. شیخ و همکاران کورکومین را داخل پلیمر PLGA با استفاده از روش تبخیر-امولسیون بارگزاری کردند و به بازده بارگزاری ۷۷ درصد دست یافتد و اندازهٔ ذرات حاصل نیز ۲۶۴ نانومتر بود [۲۴]. در مقایسه نانو حامل Gs با PLGA درمی‌یابیم که بازده بارگزاری حدود ۱۰ درصد در Gs بیشتر بوده و همین طور اندازهٔ ذرات در حدود ۱۰۰ نانومتر کوچک‌تر است. کوچک‌تر بودن اندازهٔ ذرات به همراه کروی بودن ساختار سبب تسهیل ورود کمپلکس پلیمر-کورکومین به داخل سلول‌ها می‌شود.

رهایش کورکومین از نانوذرات Gs-Cu در دو pH خشی و اسیدی به صورت کنترل شده بود که علت آن محصور شدن دارو در غشای آب‌گریز پلیمر است. در محیط اسیدی، گروه آمین Gs پروتونه شده و ماتریکس پلیمر به اصطلاح متورم می‌شود که در نتیجهٔ آن نرخ رهایش سریع‌تر می‌شود [۲۰، ۲۵]. محیط اطراف تومورها به علت افزایش متابولیسم گلوكز، هیپوکسی و گردش ناکافی خون اسیدی است؛ پس در نتیجهٔ کورکومین محصور شده سریع‌تر در این محیط آزاد می‌شود و سلول‌های عادی نیز کمتر در معرض داروی ضد سرطان قرار می‌گیرند [۲۶-۲۸].

تجزیه و تحلیل سمیت سلولی نشان داد که این پلیمر اشر

منابع

- [1] Cancer. World Health Organization. Fact sheet N 297. Updated February 2015. Available from: <http://www.who.int/mediacentre/factsheets/fs297/en/>
- [2] Das M, Mohanty C, Sahoo SK. Ligand-based

targeted therapy for cancer tissue. Expert opinion on drug delivery. Expert Opin Drug Deliv 2009; 6(3): 285-304.

- [3] Poste G, Kirsh R. Site-Specific (Targeted) Drug Delivery in Cancer Therapy. Nature

- Biotechnology 1983; 1: 869-78.
- [4] Anand P, Sundaram C, Jhurani S, Kunnumakkara AB, Aggarwal BB. Curcumin and cancer: an "old-age" disease with an "age-old" solution. *Cancer Lett* 2008; 267(1): 133-64.
- [5] Higdon J, Howells L. Curcumin. Linus Pauling Institute, Oregon State University 2016. Available from: <http://lpi.oregonstate.edu/mic/dietary-factors/phytochemicals/curcumin>.
- [6] Aggarwal BB, Sundaram C, Malani N, Ichikawa H. Curcumin: the Indian solid gold. *Adv Exp Med Biol* 2007; 595: 1-75.
- [7] Li J, Shin GH, Lee IW, Chen X, Park HJ. Soluble starch formulated nanocomposite increases water solubility and stability of curcumin. *Food Hydrocolloids* 2016; 56: 41-9.
- [8] Kumar A, Kaur G, Kansal SK, Chaudhary GR, Mehta SK. Enhanced solubilization of curcumin in mixed surfactant vesicles. *Food Chem* 2016; 199: 660-6.
- [9] Sanphui P, Goud, NR, Khandavilli UBR, Bhanoth S, Nangia, A. New polymorphs of curcumin. *Chem Commun* 2011; 47: 5013-5.
- [10] Akl MA, Kartal-Hodzic A, Oksanen T, Ismael HR, Afouna MM, Yliperttula M, Samy AM, Viitala T. Factorial design formulation optimization and in vitro characterization of curcumin-loaded PLGA nanoparticles for colon delivery. *Journal of Drug Delivery Science and Technology* 2016; 32(Part A): 10-20.
- [11] Wang X, Yang L, Chen ZG, Shin DM. Application of Nanotechnology in Cancer Therapy and Imaging. *CA Cancer J Clin* 2008; 58(2): 97-110.
- [12] Lee JS, Feijen J. Polymersomes for drug delivery: design, formation and characterization. *J Control Release* 2012; 161(2): 473-83.
- [13] Vertut-Doï A, Ishiwata H, Miyajima K. Binding and uptake of liposomes containing a poly(ethylene glycol) derivative of cholesterol (stealth liposomes) by the macrophage cell line J774: influence of PEG content and its molecular weight. *Biochim Biophys Acta* 1996; 1278(1): 19-28.
- [14] He G, Ma LL, Pan J, Venkatraman S. ABA and BAB type triblock copolymers of PEG and PLA: a comparative study of drug release properties and "stealth" particle characteristics. *Int J Pharm* 2007; 334(1-2): 48-55.
- [15] Piñeiro L, Novo M, Al-Soufi W. Fluorescence emission of pyrene in surfactant solutions. *Adv Colloid Interface Sci* 2015; 215: 1-12.
- [16] Sahu A, Bora U, Kasoju N, Goswami P. Synthesis of novel biodegradable and self-assembling methoxy poly(ethylene glycol)-palmitate nanocarrier for curcumin delivery to cancer cells. *Acta Biomater* 2008; 4(6): 1752-61.
- [17] Kalyanasundaram K, Thomas JK. Environmental effects on vibronic band intensities in pyrene monomer fluorescence and their application in studies of micellar systems. *Journal of the American Chemical Society* 1977; 99(7): 2039-44.
- [18] Erfani-Moghadam V, Nomani A, Zamani M, Yazdani Y, Najafi F, Sadeghizadeh M. A novel diblock of copolymer of (monomethoxy poly [ethylene glycol]-oleate) with a small hydrophobic fraction to make stable micelles/polymersomes for curcumin delivery to cancer cells. *Int J Nanomedicine* 2014; 9: 5541-54.

مطالعه اثر بخشی نانو حامل جمینی سورفکتانت حاوی کورکومین

- [19] Gou M, Men K, Shi H, Xiang M, Zhang J, Song J, Long J, Wan Y, Luo F, Zhao X, Qian Z. Curcumin-loaded biodegradable polymeric micelles for colon cancer therapy *in vitro* and *in vivo*. *Nanoscale* 2011; 3(4): 1558-67.
- [20] Anitha A, Maya S, Deepa N, Chennazhi KP, Nair SV, Tamura H, Jayakumar R. Efficient water-soluble biodegradable polymeric nanocarrier for the delivery of curcumin to cancer cells. *Carbohydrate Polymers* 2011; 83(2): 452-61.
- [21] Bisht S, Feldmann G, Soni S, Ravi R, Karikar C, Maitra A, Maitra A. Polymeric nanoparticle-encapsulated curcumin ("nanocurcumin"): a novel strategy for human cancer therapy. *J Nanobiotechnology* 2007; 5: 3.
- [22] Huang F, Cheng R, Meng F, Deng C, Zhong Z. Micelles Based on Acid Degradable Poly(acetal urethane): Preparation, pH-Sensitivity, and Triggered Intracellular Drug Release. *Biomacromolecules* 2015; 16(7): 2228-36.
- [23] Mohanty C, Sahoo SK. The *in vitro* stability and *in vivo* pharmacokinetics of curcumin prepared as an aqueous nanoparticulate formulation. *Biomaterials* 2010; 31(25): 6597-611.
- [24] Shaikh J, Ankola DD, Beniwal V, Singh D, Kumar MN. Nanoparticle encapsulation improves oral bioavailability of curcumin by at least 9-fold when compared to curcumin administered with piperine as absorption enhancer. *Eur J Pharm Sci* 2009; 37(3-4): 223-30.
- [25] Rejinold NS, Muthunarayanan M, Divyaratnam VV, Srerekha PR, Chennazhi KP, Nair SV, Tamura H, Jayakumar R. Curcumin-loaded biocompatible thermoresponsive polymeric nanoparticles for cancer drug delivery. *J Colloid Interface Sci* 2011; 360(1): 39-51.
- [26] Justus CR, Dong L, Yang LV. Acidic tumor microenvironment and pH-sensing G protein-coupled receptors. *Front Physiol* 2013; 4: 354.
- [27] Estrella V, Chen T, Lloyd M, Wojtkowiak J, Cornnell HH, Ibrahim-Hashim A, Bailey K, Balagurunathan Y, Rothberg JM, Sloane BF, Johnson J, Gatenby RA, Gillies RJ. Acidity generated by the tumor microenvironment drives local invasion. *Cancer Res* 2013; 73(5): 1524-35.
- [28] Yang X, Li Z, Wang N, Li L, Song L, He T, Sun L, Wang Z, Wu Q, Luo N, Yi C, Gong C. Curcumin-encapsulated polymeric micelles suppress the development of colon cancer *in vitro* and *in vivo*. *Sci Rep* 2015; 5: 10322.
- [29] Acharya S, Dilnawaz F, Sahoo SK. Targeted epidermal growth factor receptor nanoparticle bioconjugates for breast cancer therapy. *Biomaterials* 2009; 30(29): 5737-50.